# 在乳胶室中观测大天顶角簇射\*

任敬儒 陆穗苓 解 卫 (中国科学院高能物理研究所,北京100039) 王承瑞 何 瑁 张乃健 (山东大学物理系,济南 250100)

**摘要** 在甘巴拉山乳胶室中观测大天顶角簇射,给出高能 μ-子的强度,并找到了 大天顶角的多核心簇射. 这预示着宇宙线高能核作用中可能存在着新现象.

#### 关键词 乳胶室 大天顶角簇射 多核心簇射

用乳胶室观测高能现象记录的簇射有两类,一类由高能  $\gamma$ -线或电子在铅中发生电磁级联 簇射,当簇射能量超过 TeV 时,即可在 X-光片上形成肉眼可见的簇射黑斑,这类簇射的形态 是中心电子密度大外围电子密度逐渐变小,形成中心黑度大外围渐渐变淡的单核心黑斑.另一类是由于高能强子与乳胶室的铅(或铁)原子核作用,产生很多次级粒子,其中的  $\pi^0$  介子迅速衰变成  $\gamma$ -线. 一次高能核作用产生许多  $\gamma$ -线,在乳胶室中发生电磁级联簇射, X-光片中就记录许多黑斑,这些黑斑沿着粒子前进的方向分布着. 前一类簇射斑由于  $\gamma$ -线的辐射长度短,多记录在乳胶室的顶部浅层底片中,而后一类由于核作用长度长,簇射斑可出现在深层乳胶室中. 按照这一规律可以区分  $\gamma$ -线和强子. 认为簇射的起始点深度  $\Delta t \geq 6$  c. u. 为强子形成的簇射;  $\Delta t < 6$  c. u. 是  $\gamma$ -线簇射.

随着天顶角的增大簇射黑斑的形状从圆变成椭圆,甚至变成一段黑线形状. 在 X-光片上下胶面中的黑斑,也随着天顶角的增大相对错开,到完全分开.

大天顶角簇射基本是由于 μ-子在乳胶室中韧致辐射出的 γ-线形成的. 仔细扫描出大天顶角簇射就可给出设置乳胶室地方的高能 μ-子强度. 作者对甘巴拉山乳胶室<sup>[1]</sup>K9 铅室的 106 个单元作了仔细的扫描,找到 60 个天顶角  $θ \ge 76$ °的簇射. 并给出了 5 TeV 以上的 μ-子强度,与地下乳胶室<sup>[2]</sup>给出的结果是一致的.

对大天顶角簇射斑的形态在显微镜下仔细观测,从大量的单心线状黑斑中,找到3例多心的簇射黑斑. 这些多核心簇射不可能是由于强子的核作用或 μ-子的光核反应等原因形成的. 这预示着在宇宙线高能核作用中可能存在着新现象.

# 1 实验结果

#### 1.1 µ-子東流强度

这里用的 K9 铅乳胶室在甘巴拉山(海拔 5 500 m)上放置了 430 d;室的厚度为 30 c.u.;

<sup>1996-12-30</sup> 收稿, 1997-03-31 收修改稿

<sup>\*</sup> 国家自然科学基金资助项目

仔细扫描了 106 个单元(每个单元大小:40 cm×50 cm);共扫出  $\theta \ge 76^\circ$ 的簇射 60 个,其中能量  $E_\gamma > 3$  TeV 的大天顶角簇射 56 个. 根据找出的大天顶角簇射数目和有关实验条件,可以得到  $\mu$ -子的束流强度. 在铅中  $\mu$ -子辐射出 3 TeV 以上的  $\gamma$ -线基本上是  $E_\mu \ge 5$  TeV  $\mu$ -子的贡献,所以观测到的 3 TeV 以上的大天顶角簇射基本上是反映了 5 TeV 以上  $\mu$ -子的强度,按上述的实验条件得到:

$$I_{\mu}(E_{\gamma} \geqslant 3 \text{ TeV}) = (7.1 \pm 1.1) \times 10^{-10}/\text{cm}^2 \cdot \text{s} \cdot \text{sr}.$$

用探测效率较高的水谷地下 4-乳胶室的结果[2],

$$I_{\mu}(E\mu > 1 \text{ TeV}) = 4.7 \times 10^{-8}/\text{cm}^2 \cdot \text{s} \cdot \text{sr}$$

和通常  $\mu$ -子的积分能谱幂  $\beta$ = -2.6, 可以估计出:

$$I_{\mu}(E\mu \geqslant 5 \text{ TeV}) = 7.2 \times 10^{-10}/\text{cm}^2 \cdot \text{s} \cdot \text{sr}$$

两者是一致的. 这表明本实验的扫描效率高,虽然只一层 X-光片确定能量也能得到相近的结果. 不仅如此,经细致地观测从 60 个大天顶角簇射中还找到了 3 例多核心事例.

#### 1.2 大天顶角多心簇射

大天顶角多核心簇射都是由三四个小簇射组成的,确认这一点要在显微镜下测量,看看在 X-光片的上表面的分布图象与下表面是否一致?排除由于 X-光片的银粒分布的涨落等原因 形成的簇射核心分散现象.构成多核心簇射的几个分散的较小簇射,其总黑度相当于几个 TeV 能量的单核心簇射黑度. 簇射径迹围绕着几个核心分布着,所以较单心簇射黑斑簇射径 迹分散,虽然整个簇射斑的黑度相同,但中心处不够黑,整个斑有些模模糊糊,扫描很容易漏掉. 大天顶角多核心事例在显微镜下的图象如图 1 所示,事例的有关参量列在表 1 中. 表中的  $\theta$  为天顶角.  $Z_{ab}$ ,  $Z_{bc}$ ,  $Z_{cd}$  为核心a, b, c, d 间的距离.  $E_{\gamma}$  是整个多核心簇射的观测能量.大天顶角簇射的核心是一个个黑线段,便于准确测量其间的距离.

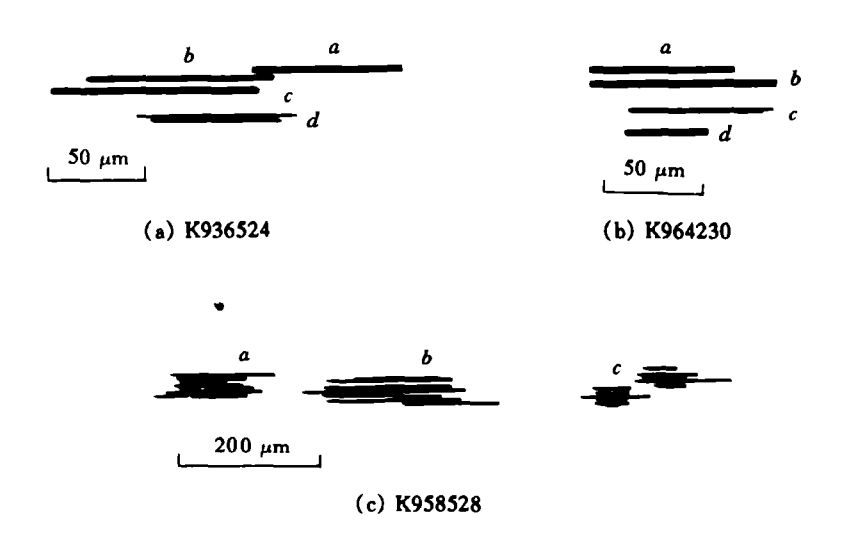


图 1 大天顶角多核心簇射事例的示意图

事例名	天顶角 tgθ	各核心间距离/µm			观測能量 E <sub>v</sub> /TeV	
		$Z_{ab}$	$Z_{bc}$	$Z_{cd}$	ACPURLE Ly/1eV	延娟点体度 Δt/c.u.
K936524	4.9	4	6	13	4.9	85
K964230	6.2	8	12	12	6.7	120
K958528	6.2	68	179		4.9	25.5

表 1 多核心簇射事例的参量

K9 铅乳胶室是严格按照实验方案放置每个单元的,每个铁盒中放置 8 个单元,按顺序建立各单元.每个大天顶角簇射在进入这个单元前穿过那几个单元是可以知道的.根据簇射的坐标、方位角、天顶角就可以知道产生簇射的粒子所穿过的铅层厚度,得到簇射的起始点位置  $\Delta t$ .这里的大天顶角簇射的  $\Delta t > 10$  c.u.,而这 3 个多核心簇射的  $\Delta t > 25$  c.u..这也就表明它们决不可能是大气中的 γ-线形成的簇射.

## 2 关于大天顶角多核心簇射的讨论

(1) 计算大于天顶角  $\theta$  的粒子束流 $J(>\theta)$ 与垂向束流  $J_{\perp}$ 之比,可了解强子在大天顶角束流中的贡献. 在天顶角  $\theta$  方向的束流为:

$$J(\theta) = J_0[e^{(-x/(l \times \cos \theta))}],$$

其中 x 是垂直方向的大气厚度(g/cm²), l 为强子束流在空气中的衰减长度.  $J_0$  是大气顶上的强子束流.  $J_{\perp} = J_0 e^{(-x/l)}$ . 所以,  $J(>\theta)/J_{\perp} = \int e^{[-x/l \times (1/\cos\theta^{-1})]} \cos\theta d(\cos\theta)$ . 按文献 [3]的结果, 垂向强子簇射强度为:

$$N_{\rm hy}(E_{\gamma} > 3 \text{ TeV}) = 2.1 \times 10^{-10}/{\rm cm}^2 \cdot {\rm s} \cdot {\rm sr}.$$

取积分范围在  $\theta < \pi/2$  和  $\theta \ge 76$ °之间,则

$$N_{\rm by}(\theta > 76^{\circ}) = 9.1 \times 10^{-19}/{\rm cm}^2 \cdot {\rm s} \cdot {\rm sr}.$$

大天顶角的强子簇射束流与 μ-子簇射束流之比

$$N_{\rm hy}(\theta > 76^{\circ})/I_{\rm u}(\theta > 76^{\circ}) \approx 1.3 \times 10^{-9}$$
.

所以大天顶角簇射束流中,强子簇射的贡献完全可以忽略.

(2) 在大天顶角的簇射中,存在着多心簇射,其起始点深度  $\Delta \iota > 6$  c. u. 表明了它们不会是电子或  $\gamma$ -线形成的. 会不会是  $\mu$ -子的虚光子与铅原子核发生光核反应造成的呢? 通过简单的计算  $^{[4]}$  可以得到  $\mu$ -子的光核反应数目与  $\mu$ -子的韧致辐射数之比,远小于实验中得到的大天顶角多核心簇射数与  $\mu$ -簇射数之比(5%). 通常在乳胶室中观测到的核作用事例,是由  $\pi^0$  衰变成  $\gamma$ -线形成的,而观测能量只是  $\gamma$ -线的能量,约为实际核作用能量的 1/3. 因此能量为  $E_\mu$  的  $\mu$ -子发生光核反应,传递给原子核的能量若大于  $E_c$ ,则观测能量只能大于  $1/3E_c$ . 也就是说,同样黑度的簇射黑斑,形成多心斑的  $\mu$ -子光核反应的传递能量应为  $\mu$ -子韧致辐射簇射能量的三倍,在取韧致辐射  $\gamma$ -线的能量下限时,应低于  $1/3E_c$ . 再考虑到  $\mu$ -子束流随能量的衰减  $\infty$   $E^{-3.8}$ ,则相应能量  $\mu$ -子光核反应数与  $\mu$ -子韧致辐射数之比在  $4\times 10^{-5}$ 与  $1.4\times 10^{-3}$ 之间. 因此大天顶角多核心簇射也不可能来自  $\mu$ -子的光核反应.

这里讨论的大天顶角多心簇射穿过的铅板厚度均大于 25 c. u., 所以不可能是空气中的电磁成分产生的簇射. 宇宙线中的核子束流通过这么厚的大气和铅板早已不存在了. μ-子光核

反应在大天顶角事例中的比数, 比实验得到的多心簇射占大天顶角簇射的份额小 50 倍以上, 因此大天顶角多心簇射也不可能是 μ-子的光核反应造成的. 而产生大天顶角多核心簇射的粒子, 核作用截面很小. 否则怎么能通过那么厚的空气层和铅层呢?

实验上观测到大天顶角簇射早已不是新事,但大天顶角多核心现象却是初次看到. 这是由于大天顶角的多心簇射极易漏掉. 如在一开始时介绍的那样,由于多核心簇射,径迹分散没有一个滑晰的黑核心;当能量增高时核心增多又互相重叠分辨不开,所以过去漏掉了这种事例.

**致谢** 这项工作曾多次与况浩怀、袁余奎先生讨论过,他们提出过很多建设性的意见,作者深致谢意.

### 参 考 文 献

- 1 Ren J R, Kuang H H, Huo A X, et al. Primary cosmic-ray composition in the energy range of 10<sup>14</sup> eV to 10<sup>16</sup> eV and high-energy atmospheric cosmic rays observed with emulsion chambers at Mt. Kanbala. Il Nuovo Cimento, 1987, 10C(1): 43~60
- 2 Mizutani K, Misaki A, Shirai T, et al. Measurements of the energy spectrum of cosmic-ray muons at sea-level with emulsion chambers. Il Nuovo Cimento, 1978, 48A(4): 429~433
- 3 Zhang N J, Wang C R, He M, et al. High Energy hadrons in atmospheric cosmic rays observed with Fe emulsion chambers. High Energy Physics and Nuclear Physics, 1989, 13: 961~966
- 4 Hayakawa S. Cosmic Ray Physics. New York: John Wiley & Sons, 1969. 299